

А. Н. АНДРЕЕВ, Ю. В. НЕМИРОВСКИЙ

О НЕКОТОРЫХ ОСОБЕННОСТЯХ ДЕФОРМИРОВАНИЯ  
 УПРУГИХ И ВЯЗКО-УПРУГИХ БЕЗМОМЕНТНЫХ  
 АРМИРОВАННЫХ И ОСЛАБЛЕННЫХ ОБОЛОЧЕК

Особенностью армированных материалов является анизотропия их деформативных свойств. Последнее обстоятельство влечет за собой появление ряда специфических особенностей в напряженном состоянии и характере смещений, возникающих в безмоментных оболочках из таких материалов [1]. Поскольку армированные материалы допускают возможность регулирования анизотропных свойств, то целесообразно исследовать характер особенностей поведения конструкции (при известных свойствах элементов армированного материала) еще до ее реализации с тем, чтобы реализовать наиболее рациональную с точки зрения эксплуатации конструкцию.

В настоящей работе исследованы некоторые специфические особенности характера деформирования армированных безмоментных оболочек, когда элементы композитного материала обладают упругими и вязко-упругими свойствами.

1. В качестве модели армированного материала используется модель, предложенная в [2, 3]. Тогда усилия  $T_{ij}$  в рассматриваемой безмоментной оболочке связаны с напряжениями  $\sigma_{(n)}$  в арматурных элементах и напряжениями  $\sigma_{(n)}^0, \sigma_{(n)}^1$  и связующем следующими зависимостями:

$$T_{ij} = a\sigma_{ij}^0 + \sum_{n=1}^N (\omega_n \sigma_{(n)} + \omega_n' \sigma_{(n)}^0) l_{in} l_{jn} \quad (i, j = 1, 2) \quad (1.1)$$

$$\omega_n = \delta_n - \omega_{2n}, \quad a = h - \omega_n, \quad \omega_n = \sum_{n=1}^N \delta_n$$

$$l_{1n} = \cos \alpha_n, \quad l_{2n} = \sin \alpha_n, \quad 0 \leq \alpha_n \leq \pi$$

Здесь  $\delta_n$  — толщина арматурного слоя, содержащего семейство армирующих элементов с номером  $n$ ,  $\omega_n$  — интенсивность армирования в этом слое,  $\alpha_n$  — угол между касательной к арматуре семейства  $n$  и направлением  $x_1$  ортогональной системы координат  $x_1, x_2, x_3$ , связанной с оболочкой,  $h$  — толщина оболочки,  $N$  — общее число семейств армирующих элементов.

Предполагая, что проскальзывание между арматурой и связующим отсутствует, получим следующие зависимости между деформаци-

ями  $\varepsilon_{(n)}$  армирующих элементов, деформациями  $\varepsilon_{(n)}^0$  прослойки связующего в пределах арматурного слоя и деформациями  $\varepsilon_{ij}$  связующего

$$\varepsilon_{(n)}^0 = \varepsilon_{(n)} = \varepsilon_{11} l_{2n}^0 + \varepsilon_{22} l_{1n}^0 - 2\varepsilon_{12} l_{1n} l_{2n} \tag{1.2}$$

Допустим, что все материалы композиции в общем случае обладают вязко-упругими свойствами и в пределах каждого арматурного слоя ведут себя как одномерные элементы. Тогда зависимости между напряжениями и деформациями в связующем материале и в армирующих элементах имеют вид [4]

$$\begin{aligned} \sigma_{ii}^0 = \frac{E}{1-\nu^2} & \left[ \varepsilon_i - \int_0^t \Gamma_i^0(t-\tau) \varepsilon_i(\tau) d\tau \right] + \\ & + \frac{\nu E}{1-\nu^2} \left[ \varepsilon_j - \int_0^t \Gamma_j^0(t-\tau) \varepsilon_j(\tau) d\tau \right] \end{aligned} \tag{1.3}$$

(i, j = 1, 2, i ≠ j)

$$\begin{aligned} \sigma_{12}^0 = 2G & \left[ \varepsilon_{12} - \int_0^t \Gamma_{12}^0(t-\tau) \varepsilon_{12}(\tau) d\tau \right] \\ \sigma_{(n)} = E_n & \left[ \varepsilon_{(n)} - \int_0^t \Gamma_{(n)}(t-\tau) \varepsilon_{(n)}(\tau) d\tau \right] \end{aligned} \tag{1.4}$$

$$\sigma_{(n)}^0 = E_n^0 \left[ \varepsilon_{(n)} - \int_0^t \Gamma_{(n)}^0(t-\tau) \varepsilon_{(n)}(\tau) d\tau \right]$$

Здесь E, G, ν — модули Юнга, сдвига и коэффициент Пуассона материала связующего; E<sub>n</sub> — модули Юнга материалов армирующих элементов; E<sub>n</sub><sup>0</sup> = E, когда жесткость связующего имеет тот же порядок, что и жесткость армирующих элементов или выше; E<sub>n</sub><sup>0</sup> = 0, когда жесткость связующего в пределах арматурного слоя намного меньше жесткости армирующих элементов. Ядра релаксации Γ<sub>i</sub><sup>0</sup>, Γ<sub>12</sub><sup>0</sup>, Γ<sub>(n)</sub>, Γ<sub>(n)</sub><sup>0</sup> определяются для исходных материалов обычным образом [4].

Подставляя выражения (1.3) и (1.4) в равенства (1.1), получим следующие зависимости между усилиями и деформациями в рассматриваемых безмоментных оболочках

$$\begin{aligned} T = [\bar{a}_{km}] \varepsilon, \quad \varepsilon = [\bar{b}_{km}] T, \quad [\bar{b}_{km}] = [\bar{a}_{km}]^{-1} \\ T = [T_{11}, T_{22}, T_{12}]', \quad \varepsilon = [\varepsilon_{11}, \varepsilon_{22}, 2\varepsilon_{12}]', \quad k, m = 1, 2, 3 \end{aligned} \tag{1.5}$$

$$\bar{a}_{ii} = \frac{\alpha E}{1-\nu^2} (1 - \bar{\Gamma}_i^0) + \sum_{n=1}^N \bar{P}_n l_{in}^0$$

$$\begin{aligned} \bar{a}_{12} = \bar{a}_{21} &= \frac{\alpha \nu E}{1 - \nu^2} (1 - \bar{\Gamma}_2^0) + \sum_{n=1}^N \bar{P}_n \bar{I}_{1n}^2 \bar{I}_{2n}^2 \\ \bar{a}_{13} = \bar{a}_{31} &= \sum_{n=1}^N \bar{P}_n \bar{I}_{1n}^2 \bar{I}_{3n}^2 \end{aligned} \quad (1.6)$$

$$\bar{a}_{33} = \alpha G (1 - \bar{\Gamma}_3^0) + \sum_{n=1}^N \bar{P}_n \bar{I}_{3n}^2 \bar{I}_{3n}^2$$

$$\bar{P}_n = \omega_n E_n (1 - \bar{\Gamma}_{(n)}) + \omega_n^* E_n^0 (1 - \bar{\Gamma}_{(n)}^0)$$

Здесь  $\bar{\Gamma}$  — интегральные операторы, такие, что

$$\bar{\Gamma} f = \int_0^l \Gamma(t-z) f(z) dz \quad (1.7)$$

штрих при матрице обозначает операцию транспонирования.

Отметим, что, если принять в (1.6)  $E_{(n)} = 0$ , то соотношения (1.5) будут верны также для оболочек с высверленными непрерывными каналами. Будем называть такие оболочки ослабленными.

Если принять  $\bar{\Gamma}_{(n)} \equiv 0$ , то уравнения (1.5), (1.6) определяют связь между усилиями и деформациями для армированных оболочек с упругой арматурой и вязко-упругим связующим. При  $\bar{\Gamma}_1^0 = \bar{\Gamma}_2^0 = \bar{\Gamma}_3^0 = \bar{\Gamma}_{(n)}^0 \equiv 0$  получим уравнения для оболочек с упругим наполнителем и вязко-упругой арматурой. И, наконец, при  $\bar{\Gamma}_1^0 = \bar{\Gamma}_2^0 = \bar{\Gamma}_3^0 = \bar{\Gamma}_{(n)}^0 = \bar{\Gamma}_{(n)} = 0$  получим уравнения для армированных оболочек из упругого материала.

Уравнения (1.5)–(1.7) в совокупности с (1.2)–(1.4) позволяют не только пояснить характерные особенности деформирования армированных оболочек, но также и ответить на вопрос, какими причинами вызваны эти особенности.

С помощью преобразования Лапласа [4] соотношения (1.5) приведем к виду

$$T = p \{ a_{im}^* \} \varepsilon^*(p), \quad p \varepsilon^*(p) = \{ b_{km}^* \} T, \quad \{ b_{km}^* \} = \{ a_{km}^* \}^{-1} \quad (1.8)$$

где звездочкой отмечены трансформации соответствующих функций,  $p$  — параметр преобразования. Применяя преобразование Лапласа также к уравнениям равновесия и граничным условиям, придем задачу о вязко-упругих оболочках к упругой задаче для трансформант. При известном решении упругой задачи оригиналы отыскиваются затем путем обращения интеграла Лапласа [4].

2. Рассматривая оболочки вращения, в качестве направлений  $x_1$ ,  $x_2$ ,  $x_3$  выберем меридианальное, окружное и нормальное и предположим, что оболочка нагружена симметричными поверхностными и контурными усилиями. Если на каком-либо контуре существует закрепление, то его также считаем симметричным. Тогда [1]

$$T_{11} = \frac{(-1)^i}{R_1 \cos^2 \theta} \left[ \int_0^s r (X_1 \cos \theta + X_3 \sin \theta) ds - U_0 \right] + \\ + \frac{1 + (-1)^i}{2} R_2 X_3, \quad (i, j = 1, 2; i \neq j) \quad (2.1)$$

$$T_{12} = - \frac{1}{R_2^2 \cos^3 \theta} \left( \int_0^s r^2 X_2 ds - V_0 \right)$$

$$p u_1^* = \cos \theta \left\{ \int_0^s \left[ \left( b_{11}^* - 2b_{12}^* \frac{R_2}{R_1} + b_{22}^* \frac{R_2^2}{R_1^2} \right) \frac{R_2}{r} T_{11} + \right. \right. \\ \left. \left. + \left( b_{13}^* - b_{23}^* \frac{R_2}{R_1} \right) \frac{R_2}{r} T_{12} + \left( b_{12}^* - b_{22}^* \frac{R_2}{R_1} \right) \frac{R_2^2}{r} X_3 \right] ds \right\} + \varphi_0^* \cos \theta \\ p u_2^* = r \left\{ \int_0^s \left[ \left( b_{13}^* - b_{23}^* \frac{R_2}{R_1} \right) \frac{R_2}{r} T_{11} + b_{33}^* \frac{T_{12}}{r} + b_{23}^* \frac{R_2}{r} X_3 \right] ds \right\} + \psi_0^* r \\ p u_3^* = \sin \theta \left\{ \int_0^s \left[ \left( b_{11}^* - 2b_{12}^* \frac{R_2}{R_1} + b_{22}^* \frac{R_2^2}{R_1^2} \right) \frac{R_2}{r} T_{11} + \right. \right. \\ \left. \left. + \left( b_{13}^* - b_{23}^* \frac{R_2}{R_1} \right) \frac{R_2}{r} T_{12} + \left( b_{12}^* - b_{22}^* \frac{R_2}{R_1} \right) \frac{R_2^2}{r} X_3 \right] ds \right\} + \\ + R_2 \left[ \left( b_{12}^* - b_{22}^* \frac{R_2}{R_1} \right) T_{11} + b_{33}^* T_{12} + b_{22}^* R_2 X_3 \right] + \varphi_0^* \sin \theta \quad (2.2)$$

В этих выражениях  $R_i$  ( $i = 1, 2$ ) — главные радиусы кривизны поверхности;  $r$  — радиус круга в сечении, перпендикулярном к оси вращения;  $s$  — длина дуги меридиана;  $\theta$  — угол между касательной к меридиану и осью вращения оболочки  $z$ ;  $X_i(s)$ ,  $X_j(s)$  — компоненты нагрузки в направлениях  $x_i$ ,  $x_j$ ;  $u_i^*$ ,  $u_j^*$  — трансформанты смещений в направлениях  $x_i$ ,  $x_j$ ;  $U_0$ ,  $V_0$ ,  $\varphi_0^*$ ,  $\psi_0^*$  — константы интегрирования.

Сравнивая выражения (2.2) с соответствующими выражениями для смещений упругой ортотропной оболочки [1], нетрудно видеть, что армированная оболочка будет деформироваться как ортотропная, если  $b_{13}^* = b_{31}^* = b_{23}^* = b_{32}^* = 0$ , следовательно,  $\bar{a}_{11} = \bar{a}_{31} = \bar{a}_{21} = \bar{a}_{12} = 0$ .

Как видно из (1.6), это справедливо, либо когда  $l_{1n} = 0$ ,  $l_{2n} = 0$ , то есть арматура расположена в направлении меридиана и параллелей, либо когда расположенная в неглавных направлениях арматура состоит из пар одинаковых семейств нитей, расположенных так, что в каждой точке меридиана нити такой пары отклонены по обе стороны меридиана на одинаковый угол.

В случае  $N=2$  для материала связующего с ядром

$$\Gamma(t-\tau) = \frac{\lambda}{\beta} \exp\left(-\frac{t-\tau}{\beta}\right)$$

при упругом изменении объема и для упругих армирующих элементов коэффициенты  $b_{km}^*(p)$  равны

$$b_{km}^*(p) = \frac{c_{km}(p\beta)^3 + d_{km}(p\beta)^2 + f_{km}p\beta + g_{km}}{A(p\beta + 1 - \nu)(p\beta - \lambda_1)(p\beta - \lambda_2)}; \quad (k, m = 1, 2, 3)$$

$$A = aE \left\{ aE \left( aE + \sum_{r=1}^2 \omega_r E_r \right) + \right. \\ \left. + (1 + \nu) \sin^2(\alpha_1 - \alpha_2) [(1 - \nu) \sin^2(\alpha_1 - \alpha_2) + 2 \cos^2(\alpha_1 - \alpha_2)] \prod_{r=1}^2 \omega_r E_r \right\} \quad (2.3)$$

$\alpha_1, \alpha_2$  — соответственно первый и второй углы армирования;  $\lambda_1, \lambda_2$  — корни многочлена второй степени относительно  $(p\beta)$

$$(p\beta)^2 + B(p\beta) + C = 0$$

$$B = \frac{aE}{A} \left\{ aE \left[ (2 - \nu) \sum_{r=1}^2 \omega_r E_r + 2(1 - \nu) aE \right] + (1 + \nu) \sin^2(\alpha_1 - \alpha_2) \times \right. \\ \left. \times [(1 - \nu)(a_1 + b) \sin^2(\alpha_1 - \alpha_2) + 2(a_1 + 1) \cos^2(\alpha_1 - \alpha_2)] \prod_{r=1}^2 \omega_r E_r \right\}$$

$$C = \frac{aE}{A} \left\{ (1 - \nu) aE \left[ (1 - \nu) aE + \sum_{r=1}^2 \omega_r E_r \right] + (1 + \nu) \sin^2(\alpha_1 - \alpha_2) \times \right. \\ \left. \times [(1 - \nu) a_1 b \sin^2(\alpha_1 - \alpha_2) + 2a_1 \cos^2(\alpha_1 - \alpha_2)] \prod_{r=1}^2 \omega_r E_r \right\}$$

Здесь

$$a_1 = 1 + \nu \frac{1 - 2\nu}{2(1 + \nu)}, \quad b = 1 - \frac{\nu(1 - 2\nu)}{2(1 - \nu)}$$

$$c_{ii} = (aE)^2 + aE(1 + \nu) \sum_{r=1}^2 (m_r + n_{rj}) + l_j$$

$$d_{ii} = (3 - 2\nu)(aE)^2 + aE(1 + \nu) \sum_{r=1}^2 [(a_1 + 2 - \nu)m_r +$$

$$+ (a_1 + b + 1 - \nu) n_{rj}] + (2a_1 + b) l_j \quad (2.4)$$

$$f_{ii} = (1 - \nu)(3 - \nu)(aE)^2 + aE(1 + \nu) \sum_{r=1}^2 [(1 - \nu + a_1(2 - \nu)) m_r +$$

$$+ (a_1(b + 1 - \nu) + b(1 - \nu)) n_{rj}] + a_1(a_2 + 2b) l_j$$

$$g_{ii} = (1 - \nu)^2(aE)^2 + aE(1 + \nu) a_2(1 - \nu) \sum_{r=1}^2 (m_r + b n_{rj}) + a_1^2 b l_j$$

$$m_r = 2\omega_r E_r \cos^2 \alpha_r \sin^2 \alpha_r, \quad n_{rj} = (1 - \nu) \omega_r E_r l_{jr}^2$$

$$l_j = 2(1 + \nu)(1 - \nu^2) \sin^2(\alpha_1 - \alpha_2) \prod_{r=1}^2 \omega_r E_r l_{jr}^2 \quad (i, j, r = 1, 2; i \neq j)$$

$$c_{33} = (1 + \nu) \left\{ 2(aE)^2 + aE \sum_{r=1}^2 (m_{r3} + n_{r3}) + l_3 \right\}$$

$$d_{33} = (1 + \nu) \left\{ 2(a_1 + 2 - 2\nu)(aE)^2 + aE \sum_{r=1}^2 [(a_1 + 2 - \nu) m_{r3} + \right. \\ \left. + (a_1 + b + 1 - \nu) n_{r3}] + (2a_1 + b) l_3 \right\} \quad (2.5)$$

$$f_{33} = (1 + \nu) \left\{ 2(1 - \nu)(1 - \nu + 2a_1)(aE)^2 + aE \sum_{r=1}^2 [(1 - \nu + a_1(2 - \nu)) m_{r3} + \right. \\ \left. + (b(1 - \nu) + a_1(b + 1 - \nu)) n_{r3}] + a_1(a_1 + 2b) l_3 \right\}$$

$$g_{33} = (1 + \nu) \left\{ 2a_1(1 - \nu)^2(aE)^2 + \right. \\ \left. + aE a_1(1 - \nu) \sum_{r=1}^2 (m_{r3} + b n_{r3}) + a_1^2 b l_3 \right\}$$

$$m_{r3} = 2\omega_r E_r \cos^2 2\alpha_r, \quad n_{r3} = (1 - \nu) \omega_r E_r \sin^2 2\alpha_r$$

$$l_3 = 2(1 - \nu^2) \sin^2(\alpha_1 - \alpha_2) \sin^2(\alpha_1 + \alpha_2) \prod_{r=1}^2 \omega_r E_r$$

$$c_{12} = -\nu(aE)^2 - (1 + \nu)^2 aE \sum_{r=1}^2 \omega_r E_r l_{1r}^2 l_{2r}^2 + l \quad (2.6)$$

$$d_{12} = - \left[ \frac{\nu}{2} + 3\nu(1 - \nu) \right] (aE)^2 -$$

$$\begin{aligned}
& - (1 + \nu)^2 a E (2a_1 + 1 - \kappa) \sum_{r=1}^2 \omega_r E_r l_r^2 l_{2r}^2 + (2a_1 + b) l \\
& f_{13} = - (1 - \kappa)(\kappa - 3\nu - 3\nu)(aE)^2 - \\
& - (1 + \nu)^2 a_1 (a_1 + 2 - 2\kappa) a E \sum_{r=1}^2 \omega_r E_r l_r^2 l_{2r}^2 + a_1 (a_1 + 2b) l \\
& g_{12} = - (1 - \kappa)^2 \left[ \nu + \frac{\kappa(1 - 2\nu)}{2} \right] (aE)^2 - \\
& - (1 + \nu)^2 (1 - \kappa) a_1^2 a E \sum_{r=1}^2 \omega_r E_r l_r^2 l_{2r}^2 + a_1^2 b l \\
& l = \frac{(1 + \nu)(1 - \nu^2)}{2} \sin^2(\alpha_1 - \alpha_2) \prod_{r=1}^2 \omega_r E_r \sin 2\alpha_r \\
& c_{i3} = (1 + \nu) \left\{ a E \left[ \sum_{r=1}^2 \omega_r E_r \left( (-1)^i \frac{\sin 4\alpha_r}{2} - (1 - \nu) \sin 2\alpha_r l_{jr}^2 \right) \right] - f_j \right\} \\
& d_{i3} = (1 + \nu) \left\{ a E \left[ \sum_{r=1}^2 \omega_r E_r \left( (-1)^i \frac{a_1 + 2 - \kappa}{2} \sin 4\alpha_r - \right. \right. \right. \\
& \left. \left. - (1 - \nu)(a_1 + b + 1 - \kappa) \sin 2\alpha_r l_{jr}^2 \right) \right] - (2a_1 + b) f_j \right\} \\
& f_{i3} = (1 + \nu) \left\{ a E \left[ \sum_{r=1}^2 \omega_r E_r \left( (-1)^i \frac{1 - \kappa + a_1(2 - \kappa)}{2} \sin 4\alpha_r - \right. \right. \right. \\
& \left. \left. - (1 - \nu)[a_1(b + 1 - \kappa) + b(1 - \kappa)] \sin 2\alpha_r l_{jr}^2 \right) \right] - a_1(a_1 + 2b) f_j \right\} \\
& g_{i3} = (1 + \nu) \left\{ a E a_1 (1 - \kappa) \left[ \sum_{r=1}^2 \omega_r E_r \left( (-1)^i \frac{\sin 4\alpha_r}{2} - \right. \right. \right. \\
& \left. \left. - (1 - \nu) b \sin 2\alpha_r l_{jr}^2 \right) \right] - a_1^2 b f_j \right\} \\
& f_j = 2(1 - \nu^2) \sin^2(\alpha_1 - \alpha_2) \sin(\alpha_1 + \alpha_2) \prod_{r=1}^2 \omega_r E_r l_r \\
& i, j, r = 1, 2; \quad i \neq j
\end{aligned}$$

Здесь при вычислениях для простоты было принято  $E_0^0 = 0$ , то есть прослойки связующего в пределах арматурного слоя не принимались во внимание.

В случае  $N=1$  соответствующие выражения для  $b_{km}^*(p)$  получим из (2.3)–(2.7), принимая  $\omega_2 E_2 = 0$ .

Чтобы определить далее зависимость перемещений  $u, v, w$  от времени, необходимо воспользоваться, учитывая выражение (2.3)–(2.7), обратным преобразованием Лапласа.

3. Рассмотрим теперь некоторые простые конкретные примеры, чтобы исследовать особенности деформирования армированных оболочек.

Пусть замкнутая цилиндрическая оболочка радиуса  $R$  при  $N=1$  нагружена равномерно распределенным по поверхности внешним давлением интенсивности  $q$ . Причем один из торцов ее закреплен, а другой свободен. Тогда после интегрирования (2.1), (2.2) с учетом краевых условий

$$\begin{aligned} u|_{z=L} = 0 &= v|_{z=L} = 0 \\ T_{12}|_{z=L} = T_{12}|_{z=0} &= 0 \end{aligned}$$

и вычисления оригиналов искомых функций получим

$$\begin{aligned} T_{11} = T_{12} = 0, \quad T_{22} = Rq \\ u = F_{12}(t) Rqs, \quad v = F_{22}(t) Rqs, \quad w = F_{22}(t) R^2 q \end{aligned} \quad (3.1)$$

где

$$\begin{aligned} F_{km}(t) = & \frac{R_{km}}{A(1-x)\lambda_1\lambda_2} + \\ & + \frac{c_{km}(x-1)^3 + d_{km}(x-1)^2 + f_{km}(x-1) + g_{km}}{A(x-1)(x-1-\lambda_1)(x-1-\lambda_2)} e^{\frac{\lambda_1-x}{\lambda_2}t} + \\ & + \frac{c_{km}\lambda_1^3 + d_{km}\lambda_1^2 + f_{km}\lambda_1 + g_{km}}{A\lambda_1(\lambda_1-x+1)(\lambda_1-\lambda_2)} e^{\frac{\lambda_1-x}{\lambda_1}t} + \\ & + \frac{c_{km}\lambda_2^3 + d_{km}\lambda_2^2 + f_{km}\lambda_2 + g_{km}}{A\lambda_2(\lambda_2-\lambda_1)(\lambda_2-x+1)} e^{\frac{\lambda_2-x}{\lambda_2}t} \end{aligned} \quad (3.2)$$

При  $t=0$  и  $t \rightarrow \infty$  из (3.1), (3.2) имеем соответственно

$$\begin{aligned} u = -\frac{qR}{aE} \frac{aE\nu + (1+\nu)^2 \omega_1 E_1 \cos^2 \alpha \sin^2 \alpha}{\omega_1 E_1 + aE} s \\ v = \frac{qR(1+\nu)\omega_1 E_1}{aE(aE + \omega_1 E_1)} v_0 s \end{aligned} \quad (3.3)$$

$$w = \frac{R^2 q}{aE} \frac{aE + (1+\nu)\omega_1 E_1 [2 \cos^2 \alpha \sin^2 \alpha + (1-\nu) \cos^4 \alpha]}{\omega_1 E_1 + aE}$$

$$v_0 = \sin 2\alpha (\nu \cos^2 \alpha - \sin^2 \alpha)$$

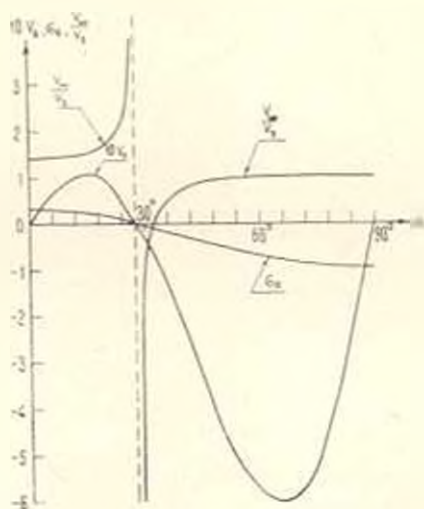
$$u = - \frac{qR}{aE} \frac{aE(1-\nu)[b(1-\nu)-1] + a_1 \omega_1 E_1 [b(1-\nu)-2] \cos^2 \alpha \sin^2 \alpha}{(1-\nu)[\omega_1 E_1 + aE(1-\nu)]} s$$

$$v = \frac{qR(1+\nu)\omega_1 E_1 a_1}{aE(1-\nu)[\omega_1 E_1 + aE(1-\nu)]} v_0 s \quad (3.4)$$

$$w = \frac{R^2 q}{aE} \frac{aE(1-\nu) + a_1(1+\nu)\omega_1 E_1 \cos^2 \alpha [2\sin^2 \alpha + b(1-\nu)\cos^2 \alpha]}{(1-\nu)[\omega_1 E_1 + aE(1-\nu)]}$$

$$v_0 = \sin 2\alpha [\cos 2\alpha - (1-\nu)b \cos^2 \alpha]$$

На фиг. 1 приведена зависимость величины  $v_0$  от угла армирования  $\alpha$  при значениях параметров  $\nu = 0.3$ ,  $\frac{aE}{\omega_1 E_1} = 0.5$ . Из этих графиков и из выражений (3.3) видно, например, что  $v_{t=0} = 0$  не только при  $\alpha = 0$ ,  $\frac{\pi}{2}$  или  $\omega_1 E_1 = 0$ , но также и при  $\alpha = \arctg \sqrt{1-\nu}$ . При этом последнем случае получаем наибольшее смещение  $w$ . Пользуясь выражением



Фиг. 1

(1.2), получим следующее значение для напряжения в арматуре при  $t = 0$

$$\sigma = E_1 \varepsilon = - \frac{E_1 q R}{\omega_1 E_1 + aE} (\nu \cos^2 \alpha - \sin^2 \alpha) = - \frac{E_1 q R}{\omega_1 E_1 + aE} \varepsilon_0 \quad (3.5)$$

График зависимости  $\varepsilon_0$  от  $\alpha$  изображен на фиг. 1. Как видно из этого графика и из выражения (3.5), при значении угла армирования, равном  $\alpha = \arctg \sqrt{1-\nu}$ , напряжение в арматуре равно нулю. И оболочка в этом случае ведет себя, как изотропная.

Обращаясь к выражениям (1.6), нетрудно видеть, что в случае ослабленных упругих оболочек получим те же выражения (3.3) и (3.5).

для смещений и напряжений в перегородках, если  $\omega_1 E_1$  заменить на  $\omega_1' E_1$ .

На фиг. 1 приведен также график зависимости величины  $\frac{v_\infty}{v_0}$  от угла армирования  $\alpha$ , который наглядно показывает, что с течением времени происходит перераспределение напряжений между элементами армированной оболочки. В результате, как видно из выражения (3.4), при  $t \rightarrow \infty$  напряжение в арматуре отсутствует, когда

$$\alpha = \arctg \sqrt{\nu + \frac{\nu(1-2\nu)}{2}}$$

Если замкнутая круговая цилиндрическая оболочка при  $N=1$  на одном из торцов  $x_0=0$  закреплена полностью, а другое торцевое сечение  $s=L$  несет равномерно распределенное сдвигающее усилие интенсивностью  $T_3^*$ , то пользуясь граничными условиями

$$u|_{s=0} = v|_{s=0} = 0, \quad T_{11}|_{s=L} = 0, \quad T_{12}|_{s=L} = T_3^*$$

и полагая  $q_1 = q_2 = q_3 = 0$ , из (2.1)–(2.3), (3.2) получим

$$u = F_{13}(t) T_3^* s, \quad v = F_{33}(t) T_3^* s, \quad w = F_{23}(t) R T_3^* \quad (3.6)$$

где  $F_{km}(t)$  определяются выражениями (3.2). При  $t=0$  и  $t \rightarrow \infty$  из (3.6) получим, соответственно

$$u = -\frac{(1+\nu)\omega_1 E_1 T_3^*}{aE(\omega_1 E_1 + aE)} s v_0, \quad v = \frac{2(1+\nu)\omega_1 E_1 T_3^* s}{aE(\omega_1 E_1 + aE)} v_0$$

$$w = -\frac{(1+\nu)\omega_1 E_1 R T_3^*}{aE(aE + \omega_1 E_1)} w_0$$

$$u_1 = \sin 2\alpha (\cos^2 \alpha - \nu \sin^2 \alpha)$$

$$v_0 = \left[ \frac{aE}{\omega_1 E_1} + \cos^2 2\alpha + 2(1-\nu) \cos^2 \alpha \sin^2 \alpha \right]$$

$$w_0 = -\sin 2\alpha (\nu \cos^2 \alpha - \sin^2 \alpha)$$

$$u = -\frac{\omega_1 E_1 (1+\nu) a_1 T_3^* s}{aE[\omega_1 E_1 + (1-x)aE](1-x)} u_\infty$$

$$v = \frac{2(1+\nu) a_1 T_3^* \omega_1 E_1 s}{aE[\omega_1 E_1 + aE(1-x)]} v_\infty (1-x)^{-1}$$

$$w = -\frac{\omega_1 E_1 a_1 R T_3^* (1+\nu)}{aE(1-x)[\omega_1 E_1 + aE(1-x)]} w_\infty$$

$$u_\infty = \sin 2\alpha [\cos 2\alpha + (1-\nu) b \sin^2 \alpha]$$

$$v_\infty = (1-x) \left[ \frac{aE}{\omega_1 E_1} + \cos^2 2\alpha + 2(1-\nu) b \cos^2 \alpha \sin^2 \alpha \right]$$

$$w_\infty = \sin 2\alpha [(1-\nu) b \cos^2 \alpha - \cos 2\alpha]$$

Графики величин  $u_0$ ,  $v_0$ ,  $w_0$  и  $u_{-}$ ,  $v_{-}$ ,  $w_{-}$  в зависимости от угла армирования  $\alpha$  при значениях параметров

$$\frac{\alpha E}{\omega_1 E_1} = 0.5, \quad \nu = 0.3, \quad \kappa = 0.6$$

приведены на фиг. 2 сплошными и штрихованными кривыми, соответственно. Отметим следующие особенности:

$$u|_{t=0} = 0 \quad \text{при} \quad \alpha = \text{arc ctg } 1 - \nu$$

$$w|_{t=0} = 0 \quad \text{при} \quad \alpha = \text{arc tg } 1 - \nu$$

$$u|_{t=-} = 0 \quad \text{при} \quad \alpha = \text{arc ctg } \sqrt{\nu + \frac{\kappa(1-2\nu)}{2}}$$

$$w|_{t=-} = 0 \quad \text{при} \quad \alpha = \text{arc tg } \sqrt{\nu + \frac{\kappa(1-2\nu)}{2}}$$

При  $t = 0$  напряжение в арматуре в соответствии с зависимостью (1.2) равно

$$\sigma = E_1 \varepsilon = \frac{E_2(1+\nu) T_3^*}{\alpha E + \omega_1 E_1} \sin 2\alpha$$

достигает наибольшего значения при  $\alpha = \frac{\pi}{4}$  и равно нулю при  $\alpha = 0$ ,  $\frac{\pi}{2}$ . Величины  $u$ ,  $w$  и  $\sigma$  являются нечетными функциями от  $\alpha$  и в интервале  $-\frac{\pi}{2} \leq \alpha \leq 0$  будут иметь те же числовые значения, но с обратными знаками.

Рассмотрим теперь круговую цилиндрическую оболочку при  $N=2$ ,  $\omega_1 E_1 = \omega_2 E_2$ ,  $a_2 = -a_1$ ,  $\alpha_1 = \alpha$ , нагруженную всесторонним гидростатическим давлением  $P$ . После интегрирования уравнений равновесия находим

$$T_{11} = -\frac{PR}{2}, \quad T_{22} = -PR, \quad T_{12} = 0$$

Для перемещений имеем следующие выражения:

$$\begin{aligned} u(s, t) &= -\frac{PR}{2} \{F_{11}(t) + 2F_{12}(t)\} s \\ v(s, t) &= 0 \\ w(t) &= -\frac{R^2 P}{2} \{F_{11}(t) + 2F_{22}(t)\} \end{aligned} \quad (3.7)$$

При  $t = 0$  из (3.7) получим

$$u(s, 0) = - \frac{RP(1 - \nu^2)s}{aE} u_0, \quad \nu = 0$$

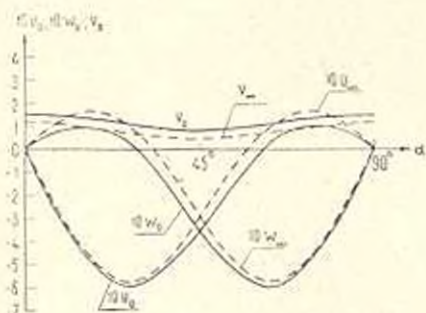
$$w(s, 0) = - \frac{R^2P(1 - \nu^2)}{aE} w_0$$
(3.8)

$$u_0 = \frac{2(1 - \nu^2)\omega_1 E_1 \sin^2 \alpha [3 \sin^2 \alpha - 2] + (1 - 2\nu) aE}{2(1 - \nu^2)[(2 - (1 + \nu) \sin^2 2\alpha)\omega_1 E_1 + aE]}$$

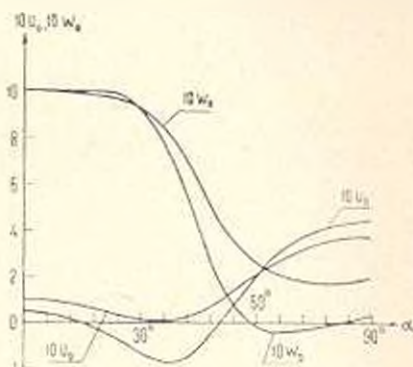
$$w_0 = \frac{2(1 - \nu^2)\omega_1 E_1 \cos^2 \alpha [3 \cos^2 \alpha - 1] + (2 - \nu) aE}{2(1 - \nu^2)[(2 - (1 + \nu) \sin^2 2\alpha)\omega_1 E_1 + aE]}$$

Из выражений (3.8) следует, что при выполнении неравенства  $1 \gg \frac{3(1 - 2\nu)aE}{2(1 - \nu^2)\omega_1 E_1}$  существуют углы армирования, при которых

$u(s, 0) = 0$ , а при выполнении неравенства  $1 \gg \frac{6(2 - \nu)aE}{(1 - \nu^2)\omega_1 E_1}$  существуют углы армирования, при которых  $w(0) = 0$ . На фиг. 3 приведе-



Фиг. 2



Фиг. 3

ны графики величин  $u_0$ ,  $w_0$  и зависимости от угла армирования  $\alpha$  при значениях параметров  $\nu = 0.3$ ,  $\frac{aE}{\omega_1 E_1} = 0.5; 1.5; 0.05$ . Напряжение в арматуре при  $t = 0$ , вычисленное с помощью формулы (1.2), в данном случае равно

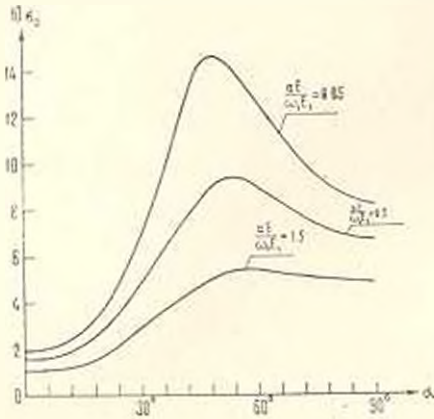
$$\sigma = - \frac{PR}{2m_1} \frac{1 - 2\nu + (1 + \nu) \sin^2 \alpha}{2 + \frac{aE}{\omega_1 E_1} - (1 + \nu) \sin^2 2\alpha} = - \frac{PR}{2\omega_1} \epsilon_0$$

Графики величины  $\epsilon_0$  и зависимости от угла армирования  $\alpha$  при значениях параметров  $\nu = 0.3$ ,  $\frac{aE}{\omega_1 E_1} = 0.5; 1.5; 0.05$  приведены на фиг. 4.

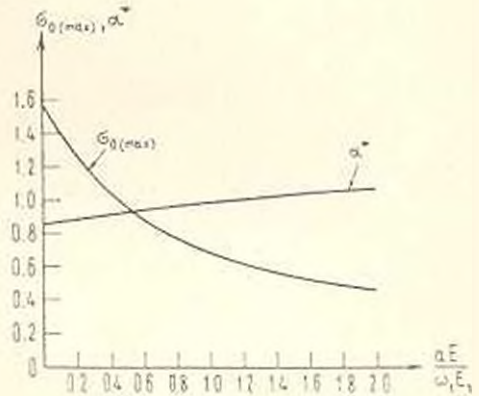
На фиг. 5 приведены графики величин  $\epsilon_{0(max)}$  в зависимости от отно-

шения  $\frac{aE}{\omega_1 E_1}$  и  $\alpha^*$  — угла армирования, при котором этот мах достигается ( $\nu = 0.3$ ).

Пусть теперь усеченная коническая оболочка с углом раствора  $2\theta$  при  $N = 2$  или  $N = 1$  несет равномерно распределенную нормально приложенную поверхностную нагрузку интенсивностью  $q$ . Одна из тор-



Фиг. 4



Фиг. 5

цов  $s_0 = 0$  полностью закреплен, а другой торец  $s = L$  свободен. После интегрирования уравнений (2.1)–(2.2) с учетом краевых условий

$$u|_{s=0} = v|_{s=0} = 0, \quad T_{11}|_{s=L} = T_{12}|_{s=L} = 0$$

получим следующие выражения:

$$\begin{aligned} u(s, t) &= \left\{ F_{11}(t) \left[ s's - \frac{s^2}{2} + (s' - L)^2 \ln \left( 1 - \frac{s}{s'} \right) \right] + \right. \\ &\quad \left. + 2f_{12}(t) \left( s's - \frac{s^2}{2} \right) \right\} \frac{\operatorname{tg} \theta}{2} q \\ v(s, t) &= \left\{ \frac{F_{13}(t)}{2} \left[ s - \frac{(s' - L)s}{s'(s' - s)} \right] + F_{23}(t) s \right\} q (s' - s) \operatorname{tg} \theta \\ w(s, t) &= \left\{ \left[ F_{12}(t) \frac{s^2 - L^2 + 2(L - s)s'}{s' - s} + 2F_{22}(t) (s' - s) \right] (s' - s) + \right. \\ &\quad \left. + F_{11}(t) \left[ s's - \frac{s^2}{2} + (s' - L)^2 \ln \left( 1 - \frac{s}{s'} \right) \right] + \right. \\ &\quad \left. + 2F_{12}(t) \left( s's - \frac{s^2}{2} \right) \right\} \frac{\operatorname{tg}^2 \theta}{2} q \end{aligned} \quad (3.9)$$

где функции  $F_{lm}(t)$  определяются выражениями (3.2). Из этих выражений, учитывая (3.2), видно, что  $v = 0$  только при изменяющемся по определенному закону вдоль меридиана угле армирования.

Если замкнутый сферический пояс при  $N = 1$  одним из торцов  $s_0 = 0$  закреплен полностью, а другое его торцевое сечение  $s = L$  несет равномерно распределенное тангенциальное усилие интенсивности  $T^*$ , то после интегрирования уравнений (2.1)–(2.2) с учетом краевых условий

$$u|_{s=0} = v|_{s=0} = 0$$

$$T_{31}|_{s=L} = T^*, \quad T_{12}|_{s=L} = 0$$

получим следующие выражения:

$$u(s, t) = \frac{RT^*}{2} [F_{11}(t) - 2F_{12}(t) + F_{22}(t)] \left| \operatorname{tg} \frac{s}{R} + \right. \\ \left. + \cos \left( \frac{s}{R} \right) \ln \operatorname{tg} \left( \frac{s}{2R} + \frac{\pi}{4} \right) \right| \cos^2 \frac{L}{R} \quad (3.10)$$

$$v(s, t) = \frac{RT^*}{2} [F_{12}(t) - F_{22}(t)] \left[ \cos \left( \frac{s}{R} \right) \ln \operatorname{tg} \left( \frac{s}{R} + \frac{\pi}{4} \right) + \right. \\ \left. + \operatorname{tg} \frac{s}{R} \right] \cos^2 \frac{L}{R} \quad (3.11)$$

$$w(s, t) = \frac{RT^*}{2} [F_{12}(t) - F_{22}(t)] \frac{\cos^2 \frac{L}{R}}{\cos^2 \frac{s}{R}} + \\ + \frac{RT^*}{2} [F_{11}(t) - 2F_{22}(t) + F_{22}(t)] \left| \sin \left( \frac{s}{R} \right) \ln \operatorname{tg} \left( \frac{s}{2R} + \pi/4 \right) + \right. \\ \left. + \operatorname{tg}^2 \frac{s}{R} \right| \cos^2 \frac{L}{R} \quad (3.12)$$

Подставляя в (3.11) функции  $F_{21}(t)$ ,  $F_{22}(t)$ , определяемые при  $N = 1$  по формулам (3.2), получим

$$v(s, t) = - \frac{RT^* (1 + \nu) \omega_1 E_1}{2aE} \sin 4z \left\{ \frac{a_1}{(1-z)[(1-z)aE + \omega_1 E_1]} + \right. \\ \left. + \frac{z-1+a_1}{(z-1)\omega_1 E_1} e^{\frac{z-1}{\beta} t} + \right. \\ \left. + \frac{aE[aE(a_1+z-1) + \omega_1 E_1(a_1-1)]}{\omega_1 E_1[(1-z)aE + \omega_1 E_1](aE + \omega_1 E_1)} e^{-\frac{(1-z)aE + \omega_1 E_1}{\beta}} \right\} \times (3.13) \\ \times \left[ \cos \left( \frac{s}{R} \right) \ln \operatorname{tg} \left( \frac{s}{R} + \frac{\pi}{4} \right) + \operatorname{tg} \frac{s}{R} \right] \cos^2 \frac{L}{R}$$

Формула (3.13) показывает, что при углах армирования  $\alpha = 0, \frac{\pi}{4}, \frac{\pi}{2}$   
 $v(s, t) = 0$  при всех  $t$ .

Институт гидродинамики  
 СО АН СССР

Поступило 26 IV 1971

Ա. Ն. ԱՆԴՐԵՎ, ՅՈՒ. Վ. ՆԵՄԻՐՈՎՍԿԻ

ԱՌԱՋԿԱԿԱՆ ԵՎ ՄԱՍՈՒՅԻՒ ԱՌԱՋԿԱԿԱՆ, ԱՐՄԱՎՈՐՎԱՆ ԵՎ  
 ԹՈՒՂԱՅՎԱՆ ԱՆՄՈՄԵՆՏ ԹԱՂԱՆԹՆԵՐԻ ԳԵՖՈՐՄԱՅՄԱՆ ՄԻ ՔԱՆԻ  
 ԱՌԱՆՁՆԱՀԱՏԿՈՒԹՅՈՒՆՆԵՐԻ ՄԱՍԻՆ

Ա Վ Փ Ո Փ Ո Ւ Մ

Երկա աշխատանքում հետազոտված են արմավորված անմոմենտ թաղանթների զեֆորմացման բնույթի մի քանի յուրահատուկ տրանսվերսալայնային դեֆորմացիաները, երբ կոմպոզիցիոն նյութի էլեմենտներն օժտված են առաձգական և մածուցիկ առաձգական հատկություններով:

## ON CERTAIN PECULIARITIES IN DEFORMATION OF VISCOUS-ELASTIC MOMENTLESS REINFORCED AND WEAKENED SHELLS

A. N. ANDREEV, Yu. V. NEMIROVSKY

### S u m m a r y

Certain peculiarities in mode of deformation of reinforced momentless shells, where the components of composite material have elastic and viscous-elastic properties, are investigated.

### Л И Т Е Р А Т У Р А

1. Амбарцумян С. А. Теория анизотропных оболочек. Физматгиз, М., 1961.
2. Немировский Ю. В. Об упруго-пластическом деформировании армированного слоя. Журнал прикл. механики и техн. физики (ПМТФ), 6, 1969.
3. Немировский Ю. В. Уравнения изгиба и устойчивости армированных оболочек и пластин из вязко-упругого материала. Сб. Динамика сплошной среды, в. IV, СО АН СССР, Новосибирск, 1970.
4. Работнов Ю. Н. Ползучесть элементов конструкций. Изд. «Наука», М., 1966.